

А. Я. Григоренко, Н. П. Яремченко, С. Н. Яремченко

Расчет напряженно-деформированного состояния слоистых прямоугольных в плане пологих ортотропных оболочек в уточненной постановке

(Представлено членом-корреспондентом НАН Украины Л. П. Хорошунюм)

Решена задача о напряженно-деформированном состоянии слоистой полой прямоугольной в плане ортотропной оболочки в уточненной постановке. Разработан численно-аналитический подход, основанный на применении сплайн-аппроксимации и метода дискретной ортогонализации. Напряженно-деформированное состояние ортотропных пологих слоистых оболочек исследовано при различных значениях стрелы подъема.

Слоистые ортотропные оболочки, изготовленные из композитных материалов, находят широкое применение в качестве конструктивных элементов в различных областях техники и строительства [1, 2]. Для оценки прочностных характеристик таких оболочечных элементов необходимо определять их напряженно-деформированное состояние, что требует разработки эффективных методов расчета [3, 4].

Ниже рассматривается статическое поведение слоистых пологих оболочек, материал которых является ортотропным [5, 6]. Исследования проводятся в рамках неклассической теории оболочек на основе уточненной модели прямолинейного элемента [3, 4, 6, 7]. Задача о напряженно-деформированном состоянии оболочек указанного класса описывается системой дифференциальных уравнений в частных производных десятого порядка с переменными коэффициентами и соответствующими краевыми условиями на контурах слоистых пологих оболочек. Решение такой задачи сопряжено со значительными трудностями вычислительного характера. Поэтому для ее решения предлагается численно-аналитический подход, основанный на сведении двумерной краевой задачи к системам обыкновенных дифференциальных уравнений с помощью применения метода сплайн-аппроксимации в одном из координатных направлений. Полученная одномерная краевая задача решена устойчивым методом дискретной ортогонализации.

В данной работе исследуется напряженное состояние слоистых пологих оболочек в уточненной постановке в зависимости от изменения характеристик ортотропии и степени пологости.

1. Рассмотрим многослойные пологие прямоугольные в плане оболочки, собранные из нечетного числа ортотропных слоев переменной толщины, симметричной относительно срединной поверхности структуры. При этом предполагается, что слои работают совместно без отрыва и скольжения. В качестве исходной принимаем модель уточненной постановки, основанной на гипотезе прямолинейного элемента. Суть принятой гипотезы состоит в том, что первоначально нормальный к координатной поверхности элемент после деформации остается прямолинейным, но уже не перпендикулярным к деформированной координатной поверхности. При этом принимается, что указанный элемент не изменяет свою длину.

В соответствии с принятой гипотезой перемещения оболочки представим в виде

$$\begin{aligned} u_x(x, y, z) &= u(x, y) + z\psi_x(x, y), \\ u_y(x, y, z) &= v(x, y) + z\psi_y(x, y), \\ u_z(x, y, z) &= w(x, y). \end{aligned} \quad (1)$$

где x, y, z — координаты точек оболочки; u_x, u_y, u_z — соответствующие перемещения; u, v, w — перемещения точек координатной поверхности в направлениях x, y, z ; ψ_x, ψ_y — полные углы поворота прямолинейного элемента.

В соответствии с (1) выражения для деформаций записываем в виде

$$\begin{aligned} e_x(x, y, z) &= \varepsilon_x(x, y) + z\kappa_x(x, y); & e_y(x, y, z) &= \varepsilon_y(x, y) + z\kappa_y(x, y); \\ e_{xy}(x, y, z) &= \varepsilon_{xy}(x, y) + z2\kappa_{xy}(x, y); \\ e_{xz}(x, y, z) &= \gamma_x(x, y); & e_{yz}(x, y, z) &= \gamma_y(x, y), \end{aligned} \quad (2)$$

где

$$\begin{aligned} \varepsilon_x &= \frac{\partial u}{\partial x} + k_1 w; & \varepsilon_y &= \frac{\partial v}{\partial y} + k_2 w; & \varepsilon_{xy} &= \frac{\partial u}{\partial y} + \frac{\partial v}{\partial x}; \\ \kappa_x &= \frac{\partial \psi_x}{\partial x} - k_1^2 w; & \kappa_y &= \frac{\partial \psi_y}{\partial y} - k_2^2 w; & 2\kappa_{xy} &= \frac{\partial \psi_x}{\partial y} + \frac{\partial \psi_y}{\partial x}; \\ \gamma_x &= \psi_x - \vartheta_x; & \gamma_y &= \psi_y - \vartheta_y; & \vartheta_x &= -\frac{\partial w}{\partial x} + k_1 u; & \vartheta_y &= -\frac{\partial w}{\partial y} + k_2 v. \end{aligned} \quad (3)$$

В (3) $\varepsilon_x, \varepsilon_y, \varepsilon_{xy}$ — тангенциальные, а $\kappa_x, \kappa_y, \kappa_{xy}$ — изгибные деформации координатной поверхности; k_1, k_2 — кривизны; ϑ_x, ϑ_y — углы поворота нормали без учета поперечных сдвигов; γ_x, γ_y — углы поворота нормали, обусловленные поперечными сдвигами.

Уравнения равновесия имеют вид

$$\begin{aligned} \frac{\partial N_x}{\partial x} + \frac{\partial N_{yx}}{\partial y} &= 0; & \frac{\partial N_y}{\partial y} + \frac{\partial N_{xy}}{\partial x} &= 0; & \frac{\partial Q_x}{\partial x} + \frac{\partial Q_y}{\partial y} - k_1 N_x - k_2 N_y + q &= 0; \\ \frac{\partial M_x}{\partial x} + \frac{\partial M_{yx}}{\partial y} - Q_x &= 0; & \frac{\partial M_y}{\partial y} + \frac{\partial M_{xy}}{\partial x} - Q_y &= 0; \\ N_{xy} - k_2 M_{yx} - N_{yx} - k_1 M_{xy} &= 0, \end{aligned} \quad (4)$$

где N_x, N_y, N_{xy}, N_{yx} — тангенциальные усилия; Q_x, Q_y — перерезывающие усилия; M_x, M_y, M_{xy}, M_{yx} — изгибающие и крутящие моменты.

Соотношения упругости для ортотропных оболочек симметричной структуры по толщине относительно выбранной координатной поверхности запишем в виде

$$\begin{aligned} N_x &= C_{11}\varepsilon_x + C_{12}\varepsilon_y; & N_y &= C_{12}\varepsilon_x + C_{22}\varepsilon_y; \\ N_{xy} &= C_{66}\varepsilon_{xy} + 2k_2 D_{66}\kappa_{xy}; & N_{yx} &= C_{66}\varepsilon_{xy} + 2k_1 D_{66}\kappa_{xy}; \\ M_x &= D_{11}\kappa_x + D_{12}\kappa_y; & M_y &= D_{12}\kappa_x + D_{22}\kappa_y; \\ M_{yx} &= M_{xy} = 2D_{66}\kappa_{xy}; & Q_x &= K_1\gamma_x; & Q_y &= K_2\gamma_y. \end{aligned} \quad (5)$$

В соотношениях (5) коэффициенты определяются следующим образом:

$$C_{mp} = \sum_{i=1}^n \int_{\gamma_{i-1}}^{\gamma_i} B_{mp}^{(i)} d\gamma; \quad K_m = \sum_{i=1}^n \int_{\gamma_{i-1}}^{\gamma_i} \tilde{K}_m^{(i)} d\gamma; \quad (6)$$

$$D_{mp} = \sum_{i=1}^n \int_{\gamma_{i-1}}^{\gamma_i} B_{mp}^{(i)} \gamma^2 d\gamma \quad (m, p = 1, 2, 6),$$

где для каждого слоя

$$B_{11} = \frac{E_x}{1 - \nu_x \nu_y}; \quad B_{12} = \nu_y B_{11}; \quad B_{22} = \frac{E_y}{1 - \nu_x \nu_y}; \quad (7)$$

$$B_{66} = G_{xy} h; \quad \tilde{K}_1 = \frac{5}{6} G_{xz}; \quad \tilde{K}_2 = \frac{5}{6} G_{yz}.$$

В формулах (7) E_x, E_y, ν_x, ν_y — модули упругости и коэффициенты Пуассона в направлениях x и y ; G_{xy}, G_{xz}, G_{yz} — модули сдвига соответствующего слоя.

Если ввести обозначения

$$\frac{\partial u}{\partial x} = \tilde{u}; \quad \frac{\partial v}{\partial x} = \tilde{v}; \quad \frac{\partial w}{\partial x} = \tilde{w}; \quad \frac{\partial \psi_x}{\partial x} = \tilde{\psi}_x; \quad \frac{\partial \psi_y}{\partial x} = \tilde{\psi}_y, \quad (8)$$

то с использованием (3)–(5) разрешающие уравнения относительно функций $u, \tilde{u}, v, \tilde{v}, w, \tilde{w}, \psi_x, \tilde{\psi}_x, \psi_y, \tilde{\psi}_y$ можно записать в виде

$$\begin{aligned} \tilde{u} &= \frac{\partial u}{\partial x}; \quad \tilde{v} = \frac{\partial v}{\partial x}; \quad \tilde{w} = \frac{\partial w}{\partial x}; \quad \tilde{\psi}_x = \frac{\partial \psi_x}{\partial x}; \quad \tilde{\psi}_y = \frac{\partial \psi_y}{\partial x}; \\ \frac{\partial \tilde{u}}{\partial x} &= a_{11} \tilde{u} + a_{12} \frac{\partial u}{\partial y} + a_{13} \frac{\partial^2 u}{\partial y^2} + a_{14} \tilde{v} + a_{15} \frac{\partial v}{\partial y} + a_{16} \frac{\partial \tilde{v}}{\partial y} + a_{17} w + a_{18} \tilde{w} + \\ &+ a_{19} \frac{\partial \psi_x}{\partial y} + a_{1,10} \frac{\partial^2 \psi_x}{\partial y^2} + a_{1,11} \tilde{\psi}_y + a_{1,12} \frac{\partial \tilde{\psi}_y}{\partial y}; \\ \frac{\partial \tilde{v}}{\partial x} &= a_{21} \tilde{u} + a_{22} \frac{\partial u}{\partial y} + a_{23} \frac{\partial \tilde{u}}{\partial y} + a_{24} v + a_{25} \tilde{v} + a_{26} \frac{\partial v}{\partial y} + a_{27} \frac{\partial^2 v}{\partial y^2} + a_{28} w + \\ &+ a_{29} \frac{\partial w}{\partial y} + a_{2,10} \tilde{\psi}_x + a_{2,11} \frac{\partial \tilde{\psi}_x}{\partial y} + a_{2,12} \psi_y + a_{2,13} \frac{\partial \psi_y}{\partial y} + a_{2,14} \frac{\partial^2 \psi_y}{\partial y^2}; \\ \frac{\partial \tilde{w}}{\partial x} &= a_{31} u + a_{32} \tilde{u} + a_{33} v + a_{34} \frac{\partial v}{\partial y} + a_{35} w + a_{36} \tilde{w} + a_{37} \frac{\partial w}{\partial y} + \\ &+ a_{38} \frac{\partial^2 w}{\partial y^2} + a_{39} \psi_x + a_{3,10} \tilde{\psi}_x + a_{3,11} \psi_y + a_{3,12} \frac{\partial \psi_y}{\partial y} + a_{3,13} q; \\ \frac{\partial \tilde{\psi}_x}{\partial x} &= a_{41} u + a_{42} w + a_{43} \tilde{w} + a_{44} \psi_x + a_{45} \tilde{\psi}_x + a_{46} \frac{\partial \psi_x}{\partial y} + a_{47} \frac{\partial^2 \psi_x}{\partial y^2} + \\ &+ a_{48} \tilde{\psi}_y + a_{49} \frac{\partial \psi_y}{\partial y} + a_{4,10} \frac{\partial \tilde{\psi}_y}{\partial y}; \end{aligned} \quad (9)$$

$$\begin{aligned} \frac{\partial \tilde{\psi}_y}{\partial y} = & a_{51}v + a_{52}w + a_{53} \frac{\partial w}{\partial y} + a_{54} \tilde{\psi}_x + a_{55} \frac{\partial \psi_x}{\partial y} + a_{56} \frac{\partial \psi_x}{\partial y} + \\ & + a_{57} \psi_y + a_{58} \tilde{\psi}_y + a_{59} \frac{\partial \psi_y}{\partial y} + a_{5,10} \frac{\partial^2 \psi_y}{\partial y^2}. \end{aligned}$$

Коэффициенты a_{ij} в общем случае зависят от x и y .

Будем рассматривать на краях оболочки жесткое закрепление. В этом случае

$$u = v = w = 0; \quad \psi_x = \psi_y = 0 \quad (10)$$

при $x = 0$, $x = a$ и при $y = 0$, $y = b$.

2. Для решения рассматриваемого класса двумерных краевых задач применим подход, основанный на аппроксимации искомого решения в одном координатном направлении с помощью сплайн-функций, а для решения полученной при этом одномерной краевой задачи используем устойчивый численный метод дискретной ортогонализации [4, 6, 7].

В систему (9) входят производные от разрешающих функций по координате y не выше второго порядка. На этом основании при аппроксимации решений по координате y можно ограничиться сплайн-функциями третьей степени. Тогда искомое решение краевой задачи для системы уравнений (9) с соответствующими граничными условиями представим в следующем виде:

$$\begin{aligned} u(x, y) = \sum_{i=0}^N u_i(x) \varphi_{1i}(y); \quad v(x, y) = \sum_{i=0}^N v_i(x) \varphi_{2i}(y); \quad w(x, y) = \sum_{i=0}^N w_i(x) \varphi_{3i}(y); \\ \psi_x(x, y) = \sum_{i=0}^N \psi_{xi}(x) \varphi_{4i}(y); \quad \psi_y(x, y) = \sum_{i=0}^N \psi_{yi}(x) \varphi_{5i}(y), \end{aligned} \quad (11)$$

где $u_i(x)$, $v_i(x)$, $w_i(x)$, $\psi_{xi}(x)$, $\psi_{yi}(x)$ — искомые функции переменной x , $\varphi_{ji}(y)$ ($j = \overline{1, 5}$) — линейные комбинации B -сплайнов на равномерной сетке $\Delta: 0 = y_0 < y_1 < \dots < y_N = b$, удовлетворяющие граничным условиям на контурах $y = 0$ и $y = b$. В систему входят производные от разрешающих функций по координате y не выше второго порядка и можно ограничиться аппроксимацией сплайн-функциями третьей степени [4].

При этом функции $\varphi_{ji}(y)$ формируются таким образом, чтобы удовлетворить граничным условиям. В случае жесткой заделки разрешающие функции на контурах равны нулю, поэтому можно положить

$$\begin{aligned} \varphi_{j0}(y) = -4B_3^{-1}(y) + B_3^0(y); \quad \varphi_{j1}(y) = B_3^{-1}(y) - \frac{1}{2}B_3^0(y) + B_3^1(y); \\ \varphi_{ji}(y) = B_3^i(y) \quad (i = 2, 3, \dots, N-2). \end{aligned} \quad (12)$$

Аналогично представляются функции $\varphi_{j,N-1}(y)$ и $\varphi_{j,N}(y)$.

Подставляя решение (11) в разрешающую систему уравнений (9) и в соответствии с методом сплайн-коллокации требуя их удовлетворения в заданных точках коллокации $\xi_k \in [0, b]$, $k = \overline{0, N}$, получаем систему обыкновенных дифференциальных уравнений порядка $10(N+1)$ относительно функций u_i , \tilde{u}_i , v_i , \tilde{v}_i , w_i , \tilde{w}_i , ψ_{xi} , $\tilde{\psi}_{xi}$, ψ_{yi} , $\tilde{\psi}_{yi}$ ($i = 0, \dots, N$), которую можно представить в виде

$$\frac{d\bar{Y}}{dx} = A\bar{Y} + \bar{f}, \quad (13)$$

где

$$\bar{Y} = \{u_0, \dots, u_N, \tilde{u}_0, \dots, \tilde{u}_N, v_0, \dots, v_N, \tilde{v}_0, \dots, \tilde{v}_N, w_0, \dots, w_N, \tilde{w}_0, \dots, \tilde{w}_N, \\ \psi_{x0}, \dots, \psi_{xN}, \tilde{\psi}_{x0}, \dots, \tilde{\psi}_{xN}, \psi_{y0}, \dots, \psi_{yN}, \tilde{\psi}_{y0}, \dots, \tilde{\psi}_{yN}\}^T -$$

вектор-функция от x ; \bar{f} — вектор правых частей; A — квадратная матрица, элементы которой зависят от x .

Граничные условия для полученной системы обыкновенных дифференциальных уравнений можно записать так:

$$B_1 \bar{Y}(x_1) = \bar{b}_1; \quad B_2 \bar{Y}(x_2) = \bar{b}_2. \quad (14)$$

Для решения одномерной краевой задачи (13), (14) применим устойчивый численный метод дискретной ортогонализации.

3. С помощью изложенного подхода были решены в уточненной постановке задачи для трехслойных пологих оболочек, рассмотренных в статье [6] с использованием классической теории. При этом верхний и нижний слой оболочек изотропные, а внутренний слой — ортотропный. Оболочки находятся под действием нормальной нагрузки $q_\gamma = q_0 = \text{const}$, а стороны оболочки жестко закреплены.

Следуя [6], принимаем, что модуль упругости $E_x = E$, модуль упругости $E_y = \mu E$, модуль сдвига $G_{xy} = \lambda E$, коэффициент Пуассона — ν_x . Будем рассматривать три варианта упругих постоянных внутреннего слоя:

I. $\mu = 2$; $\lambda = 0,3$; $\nu_x = 0,075$;

II. $\mu = 1$; $\lambda = 0,385$; $\nu_x = 0,3$;

III. $\mu = 0,5$; $\lambda = 0,125$; $\nu_x = 0,15$.

Значения упругих постоянных для варианта II соответствуют изотропному материалу. Толщина среднего слоя оболочки равна $0,4h$, а внутреннего и наружного слоев — $0,3h$. Величина стрелы подъема $f = f_x + f_y$, где $f_x = R_x - \sqrt{R_x^2 - a^2/4}$, $f_y = R_y - \sqrt{R_y^2 - b^2/4}$. $R_x = 1/k_1$, $R_y = 1/k_2$ — радиусы кривизны срединной поверхности. Размеры основания и толщина оболочки равны $a = 12$, $b = 10$, $h = 0,4$. При расчетах полагаем, что $f_x = f_y$, поэтому если $f_x = 0,25$, то $R_x = 72,125$, $R_y = 50,125$; если $f_x = 0,5$, то $R_x = 36,25$, $R_y = 25,25$; если $f_x = 1$, то $R_x = 18,5$, $R_y = 13$.

В табл. 1 проведено сравнение результатов для прогибов в сечении $x = 6$, полученных в работе [6] по классической теории (колонки *a*), и результатов, полученных по предложенной методике (колонки *б*). При этом следует заметить, что при расчете по классической теории не учитываются характеристики G_{xz} и G_{yz} , и в работе [6] они не указаны, поэтому при расчете в уточненной постановке принимаем $G_{xz} = G_{yz} = G_{xy}$.

Как видно из табл. 1, полученные результаты различаются незначительно, и выбранные параметры оболочки позволяют проводить достаточно точные расчеты как в классической, так и уточненной теориях.

Также решена задача о напряженно-деформированном состоянии трехслойной полой оболочки, у которой все слои ортотропные. Причем материал, из которого изготовлены слои, один и тот же, но волокна во внутреннем и во внешних слоях расположены по-разному, и в этом случае для внутреннего слоя $\nu_x = 0,277$, $E_x = 5,7E_0$, $E_y = 1,4E_0$, $G_{xy} = G_{xz} = 0,57E_0$, $G_{yz} = 0,5E_0$, а для верхнего и нижнего слоев — $\nu_y = 0,277$, $E_y = 5,7E_0$, $E_x = 1,4E_0$, $G_{xy} = G_{yz} = 0,57E_0$, $G_{xz} = 0,5E_0$. Толщины слоев, размеры оболочки и другие

Таблица 1. Величины прогибов, полученные с применением различных теорий

f_x	y	wE/q_0					
		I		II		III	
		a	b	a	b	a	b
0	1	410,2	431,9	422,6	438,2	435,7	467,2
	2	1235	1272	1268	1293	1307	1364
	3	2066	2109	2118	2143	2183	2253
	4	2652	2698	2715	2740	2799	2876
	5	2861	2907	2928	2952	3018	3097
0,5	1	144,1	149,7	160,9	165,8	155,1	195,4
	2	427,3	434	474,5	479,6	546,2	559,00
	3	705,5	709,2	779,7	782,2	897,1	907,9
	4	896,9	898,2	988,4	988,7	1138	1146
	5	964,2	964,5	1062	1061	1222	1229
1	1	51,7	54,09	60,2	62,27	73,0	77,03
	2	147,3	148,90	169,5	170,7	205,6	208,50
	3	234,0	233,2	267,1	266	324,1	323,4
	4	289,6	286,8	328,7	325,7	399,0	395,5
	5	308,3	304,7	349,2	345,6	424,1	419,5

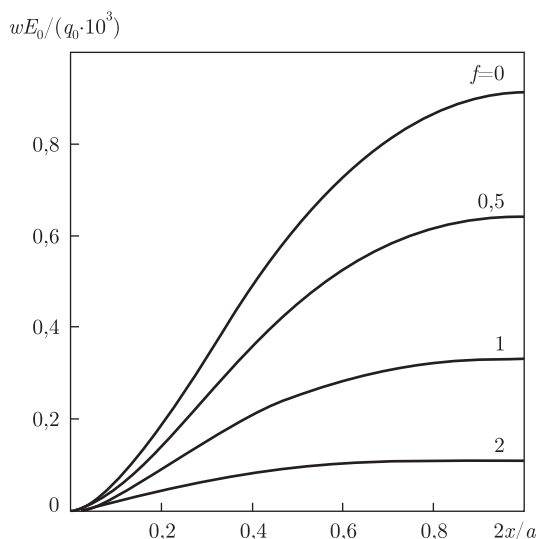


Рис. 1

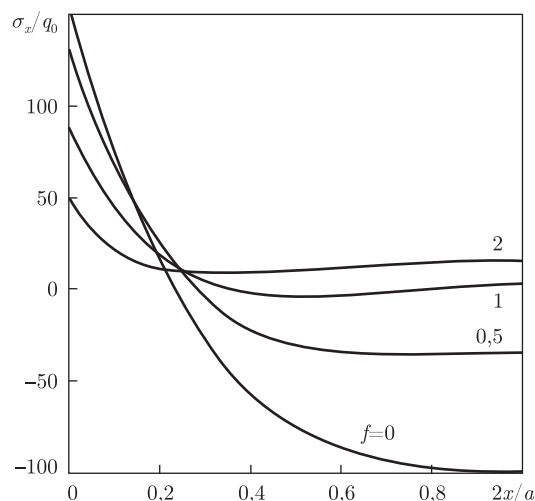


Рис. 2

данные выбраны такими же, как и в предыдущей задаче. На рис. 1 показаны распределения прогибов wE_0/q_0 в сечении $y = 5$ в зависимости от стрелы подъема f . Как видно из графиков, с увеличением стрелы подъема прогибы уменьшаются. При этом прогибы для оболочки со стрелой подъема $f = 2$ примерно в 9 раз меньше, чем прогибы для пластинки с соответствующими размерами в плане. На рис. 2 показаны распределения напряжений σ_x/q_0 в сечении $y = 5$ на внутренней поверхности оболочки в зависимости от стрелы подъема f . Максимальные напряжения при этом достигаются у края оболочки и для пластинки они превышают максимальные значения напряжений для оболочки со стрелой подъема $f = 2$ более чем в 3 раза.

1. Амбарцумян С. А. Общая теория анизотропных оболочек. – Москва: Наука, 1974. – 446 с.
2. Власов В. З. Общая теория оболочек. – Москва; Ленинград: ГИТТЛ, 1949. – 784 с.

3. Григоренко Я. М., Шевченко Ю. Н., Василенко А. Т. и др. Численные методы // Механика композитов: в 12 т. / Под общ. ред. А. Н. Гузя. – Т. 11. – Киев: А. С. К., 2002. – 448 с.
4. Григоренко Я. М., Влайков Г. Г., Григоренко А. Я. Численно-аналитическое решение задач механики оболочек на основе различных моделей. – Киев: Академперіодика, 2006. – 472 с.
5. Лехницкий С. Г. Теория упругости анизотропного тела. – Москва: Наука, 1977. – 416 с.
6. Григоренко Я. М., Крюков Н. Н., Иванова Ю. И. Анализ напряженного состояния двояковыпуклых слоистых ортотропных оболочек при различной степени пологости // Прикл. механика. – 2003. – **39**, № 6. – С. 74–81.
7. Grigorenko Ya. M., Yaremchenko S. N. Analysis of an effect of orthotropy parameters on displacements and stresses in non-thin cylindrical shells with an elliptic cross-section // Int. Appl. Mech. – 2007. – **43**, No 6. – P. 654–661.

Институт механики им. С. П. Тимошенко
НАН Украины, Киев

Поступило в редакцию 11.05.2011

О. Я. Григоренко, Н. П. Яремченко, С. М. Яремченко

Розрахунок напружено-деформованого стану шаруватих прямокутних в плані пологих ортотропних оболонок в уточненій постановці

Розв'язано задачу про напружено-деформований стан шаруватой пологої прямокутної в плані ортотропної оболонки в уточненій постановці. Розвинуто чисельно-аналітичний підхід, який базується на застосуванні сплайн-апроксимації та методу дискретної ортогоналізації. Напружено-деформований стан ортотропних пологих шаруватих оболонок досліджено при різних значеннях стріли підйому.

A. Ya. Grigorenko, N. P. Yaremchenko, S. N. Yaremchenko

Calculation of a stress-strain state of layered shallow orthotropic shells rectangular in plan in a refined formulation

The problem of the stress-strain state of a layered orthotropic shallow shell rectangular in plan is studied in a refined statement. The numerical-analytical method is developed using the spline-approximation and the discrete-orthogonalization methods. The stress-strain state of orthotropic shallow layered shells is investigated for various magnitudes of the camber of arch.